

Министерство науки и высшего образования Российской Федерации  
Федеральное государственное автономное образовательное учреждение  
высшего образования

Национальный исследовательский ядерный университет «МИФИ»  
(НИЯУ МИФИ)

Отчет о научно-исследовательской работе на тему:  
Динамика двойных первичных черных дыр в  
кластерах

Научный руководитель  
ассисент

\_\_\_\_\_ В. Д. Стасенко

Выполнил  
студент группы Б21-102

\_\_\_\_\_ К. М. Гордильо

Москва 2023

# СОДЕРЖАНИЕ

1	Введение	2
2	Формирование двойных ПЧД в ранней Вселенной	3
3	Дальние сближения с другими ПЧД	6
4	Метод исследования	8
5	Результаты	9
6	Заключение	12
	Список использованных источников	13

# 1. ВВЕДЕНИЕ

После открытия гравитационных волн коллаборацией LIGO-Virgo, сливающиеся первичные черные дыры (ПЧД) активно рассматриваются как их возможный источник [1–4]. Также существует ряд других указаний на существование ПЧД: наблюдение сверхмассивных черных дыр на больших красных смещениях [5], при некоторых массовых диапазонах ПЧД возможно объяснение темной материи [6], недавно обнаружен стохастический гравитационно-волновой фон может объяснен либо формированием ПЧД [7], либо их слиянием [8].

На ПЧД наложены существенные наблюдательные ограничения на их вклад в состав темной материи  $f = \Omega_{PBH}/\Omega_{DM}$  [6; 9]. В контексте данной работы в частности, вклад ПЧД с массами  $\sim 10 M_{\odot}$  ограничен на уровне  $f \lesssim 10^{-3}$  по наблюдению темпа слияний черных дыр таких масс коллаборацией LIGO-Virgo-KAGRA (LVK). Это ограничение предполагает, что двойные ПЧД формируются в ранней Вселенной на РД стадии, что соответствует времени  $< t_{eq} \approx 70$  тыс. лет (индекс  $eq$  означает момент перехода от РД к МД стадии). Далее сформированные двойные постепенно закручиваются из-за излучения гравитационных волн и в конечном итоге сливаются. Если доля ПЧД будет  $f \gtrsim 10^{-3}$ , то темп слияний ПЧД будет превышать наблюдения LVK. Однако эти ограничения не учитывают возможное разрушение двойных от момента ее формирования глубоко в ранней Вселенной до современного момента  $t_0 = 13.8$  млрд. лет. В работах [10; 11] было показано, что при больших долях ПЧД  $f \gtrsim 0.01$  активно происходит кластеризация ПЧД при красных смещениях  $z > 10$ . В таких кластерах ПЧД активно рассеиваются друг на друге в результате чего возможно разрушение или возмущение параметров двойной системы, что ведет к ослаблению ограничений до  $f \sim 0.1$ . Также существует ряд моделей предсказывающих изначальную кластеризацию ПЧД [12; 13] для которых подобное ослабление ограничений также релевантно. Для получения количественных результатов относительно разрушения или возмущения параметров двойной ПЧД, в данной работе моделируется задача трех тел — рассеяние двойной системы ПЧД на третьей ПЧД в кластере.

## 2. ФОРМИРОВАНИЕ ДВОЙНЫХ ПЧД В РАННЕЙ ВСЕЛЕННОЙ

В этой главе дается обзор формирования двойных ПЧД в ранней Вселенной [1; 14; 15]. На качественном уровне идея формирования двойных ПЧД на РД стадии состоит в том, что плотность двух ПЧД в некоторый момент времени  $t_d$  (индекс d означает decouple) окажется больше, чем плотность излучения. Происходит это из-за того, что плотность излучения падает как  $\rho_r \propto s^{-4}$ , в то время как плотность вещества  $\rho_M \propto s^{-3}$ , где  $s$  — это масштабный фактор. Также считается, что ПЧД случайно распределены в пространстве, в результате чего локально плотность двух ПЧД может быть сильно повышенной, что ведет в момент  $t_d$  к формированию пары.

Оценим момент формирования пары  $t_d$ . Введем среднее расстояние между ПЧД на момент  $t_{eq}$

$$\bar{x} = \left( \frac{M}{\rho_{PBH}} \right)^{1/3} = \frac{1}{s_{eq} f^{1/3}} \left( \frac{M}{\Omega_{DM} \rho_c} \right)^{1/3}, \quad (1)$$

где  $\rho_{PBH} = f \rho_{DM}$  — плотность ПЧД, а также полагается современный масштабный фактор нормирован на единицу  $s_0 = 1$ ,  $\rho_c = 127 M_\odot \text{кпк}^{-3}$  — современная критическая плотность Вселенной и  $\Omega_{DM} = \rho_{DM}/\rho_c = 0.25$  — доля темной материи в составе Вселенной. Пара ПЧД становится гравитационно-связанной в момент выполнения условия

$$\frac{M}{R^3} = \rho_r(t_d) = \rho_{r,eq} \left( \frac{s_{eq}}{s_d} \right)^4 \quad (2)$$

где  $R = x s_d / s_{eq}$ , где  $x$  — расстояние между двумя ПЧД на момент  $t_{eq}$ , если бы они продолжили расширяться вместе со Вселенной (собственное расстояние). Отметим, что в рассматриваемом предположении  $x$  меняется в пределах от 0 до  $\bar{x}$ . Тогда получим

$$\frac{s_{eq}}{s_d} = \frac{1 + z_d}{1 + z_{eq}} = f \left( \frac{\bar{x}}{x} \right)^3, \quad (3)$$

где  $z_{eq} = 3400$  — красное смещение РД-МД перехода. Видно, что чем ближе пара (маленькие  $x$ ) тем раньше она формируется (больше  $z_d$ ). Также от-

метим, что в момент РД-МД перехода  $z_{eq}$  формируются пары для которых  $x = f^{1/3}\bar{x}$ .

После отцепления от расширения Вселенной две ПЧД будут иметь ненулевой момент импульса, который создается приливными силами от третьей ближайшей ПЧД, поэтому лобовое столкновение двух ПЧД не происходит. В случае  $f < 0.01$  момент импульса будет уже создавать инфляционными адиабатическими возмущениями [15]. Перпендикулярную составляющую скорости на момент формирования пары можно оценить

$$v_{\perp} \sim F_t \tau, \quad (4)$$

где  $F_t = GMR/d^3$  — приливная сила на единицу массу от третьей ПЧД и  $d = ys_d/s_{eq}$  — расстояние до нее и  $y$  имеет тот же смысл что и переменная  $x$ . Поскольку расстояние до третьей ПЧД должно быть больше, чем расстояние между ПЧД формирующими пару, то  $x < y$ , также должны быть выполнено  $y < \bar{x}$ . Время в формуле (4) оценим как время действия приливной силы  $\tau \sim H^{-1}$  — возраст Вселенной на момент формирования двойной  $\tau \sim 1/\sqrt{G\rho_{r,d}}$ . После формирования приливные силы "выключаются" и на динамику двойной не влияют. Тогда момент импульса будет

$$l \sim Rv_{\perp} \sim \left(\frac{R}{d}\right)^3 \sqrt{GMR}, \quad (5)$$

где мы учли  $\rho_{r,d} = M/R^3$  на момент формирования пары. Введем безразмерный угловой момент  $j = \sqrt{1-e^2}$ , где  $e$  — эксцентриситет, тогда из результатов задачи Кеплера следует

$$j = \sqrt{\frac{|E|l^2}{M^3G^2}} = \left(\frac{x}{y}\right)^3, \quad (6)$$

где энергия была оценена как  $E = -GM/R$ . Большая полуось в свою очередь с помощью (2) оценивается как  $a = R$

$$a = \frac{x}{f} \left(\frac{x}{\bar{x}}\right)^3. \quad (7)$$

Полученные результаты с точностью до множителя порядка единицы сов-

падают с численным исследованием формирования двойной [15; 16].

Вероятность того, что расстояние между двумя ПЧД будет  $(x, x + dx)$  и расстояние до третьей ПЧД, которая создает угловой момент двойной,  $(y, y + dy)$

$$dP = \frac{18}{\bar{x}^6} x^2 y^2 dx dy \quad (8)$$

где пределы  $0 < x < \bar{x}$  и  $x < y < \bar{x}$ . Видно, что часть распределения по  $y$  преимущественно набирается при больших значения  $y \lesssim \bar{x}$ , а значит  $j \ll 1$ , что соответствует высокоэксцентричным эллипсам. Для того, чтобы это явно показать перейдем от померенных  $x, y$  в распределении (8) к  $a, j$  с помощью формул перехода (6) и (7)

$$dP = \frac{3}{2} \left( \frac{f}{\bar{x}} \right)^{3/2} \frac{\sqrt{a}}{j^2} da dj \quad (9)$$

где пределы  $(af/\bar{x})^{3/4} < j < 1$  и  $0 < a < \bar{x}/f$ . В этой формуле более явно видно, что распределение по  $j$  сильнее при  $j \ll 1$ .

Время жизни двойной система за счет излучения гравитационных волн

$$t_{gw} = \frac{3c^5 a^4 j^7}{170 G^3 M^3}, \quad (10)$$

где  $c$ — скорость света. Оценим характерные начальные параметры двойной, сливающихся за время  $t_{gw}$ . Т.к. распределение (9) максимально при малых  $j$ , то будет считать, что характерное значение  $j_* \sim (af/\bar{x})^{3/4}$  при заданной большой полуоси  $a$ , тогда

$$\begin{aligned} a_* &= \left( \frac{170 G^3 M^{19/4} t_{gw}}{3c^5 f^7 \rho_{DM,eq}} \right)^{4/37} \\ &\approx 137 f^{-28/37} \left( \frac{M}{10 M_\odot} \right)^{19/37} \left( \frac{t_{gw}}{10 \text{ Gyr}} \right)^{4/37} \text{ au} \end{aligned} \quad (11)$$

характерное значение больших полуосей для двойных, сливающихся в современную эпоху. Характерное значение углового момента в свою очередь

$$j_* \approx 0.014 f^{16/37} \left( \frac{M}{10 M_\odot} \right)^{5/37} \left( \frac{t_{gw}}{10 \text{ Gyr}} \right)^{3/37}, \quad (12)$$

как и ожидалось двойные имеют очень маленькие угловые моменты, что соответствует эксцентриситету  $e \approx 0.9999$  для случая  $f = 1$ . Также отметим, что полученные зависимости от  $f$  и  $M$  и значения по порядку величины соответствуют более тщательному расчету [4].

Время жизни двойной определяется выражением:

$$j = (1 - e^2)^{\frac{1}{2}}$$

$$t = \left(\frac{a}{a_0}\right)^4 j^7 \times 10^{10}$$

где

$$a_0 = 2.0 \times 10^{11} \left(\frac{M_{BH}}{M_{\odot}}\right)^{\frac{3}{4}} \text{ см}$$

### 3. ДАЛЬНИЕ СБЛИЖЕНИЯ С ДРУГИМИ ПЧД

Сближение считается дальним если расстояние наибольшего сближения между двойной системой и третьей ПЧД  $r_p$  превышает большой полуоси двойной  $a$  по крайней мере в несколько раз, и поэтому взаимодействие можно считать приливным.

Рассмотрим одиночную ПЧД, приближающуюся к двойной системе по гиперболической орбите с прицельным параметром  $b$  и относительной скоростью на бесконечности  $v$ . Сохранение энергии и момента импульса подразумевает следующие соотношения между  $b$ ,  $v$  и  $r_p$ :

$$b^2 = r_p^2 + \frac{6Mr_p}{v^2} \quad (13)$$

$$r_p = \frac{b}{\left[1 + \left(\frac{3M}{bv^2}\right)^2\right]^{\frac{1}{2}} + \frac{3M}{bv^2}} \quad (14)$$

При сохранении углового момента скорость в перицентре равна  $v_p = \frac{bv}{r_p}$ .

Таким образом, характерное время взаимодействия определяется как

$$t_p \sim \frac{r_p}{v} = \frac{r_p^2}{bv} \quad (15)$$

Изменение удельного углового момента имеет порядок

$$\Delta l \sim \frac{M}{r_p^3} a^2 t_p = \frac{Ma^2}{r_p bv} \quad (16)$$

Изменение удельной энергии  $\frac{E}{M}$  составляет не более порядка

$$\frac{\Delta E}{M} \sim \frac{M}{r_p^3} a \sqrt{\frac{M}{a}} t_p \sim \frac{M^{\frac{3}{2}} a^{\frac{1}{2}}}{r_p bv} \quad (17)$$

следовательно, дробное изменение большой полуоси составляет не более

$$\frac{\Delta a}{a} = \frac{\Delta E}{E} \sim \frac{M^{\frac{1}{2}} a^{\frac{3}{2}}}{r_p bv} \quad (18)$$

Таким образом

$$\Delta j = \frac{\Delta l}{\sqrt{2Ma}} - \frac{1}{2} j \frac{\Delta a}{a} \sim \frac{\Delta l}{\sqrt{Ma}} \sim \frac{M^{\frac{1}{2}} a^{\frac{3}{2}}}{r_p bv} \quad (19)$$

## 4. МЕТОД ИССЛЕДОВАНИЯ

Для моделирования взаимодействия между двойной системой и третьим телом был использован код на Matlab, который в численном приближении решает и визуализирует задачу трех тел. Работа программы основана на методе Рунге-Кутты четвертого порядка, определяющий в каждом временном шаге положения и скорости каждой из тел. Максимальное время запуска кода и временной шаг можно регулировать

Начальные параметры двойной, то есть, эксцентриситет  $e$  и большая полуось  $a$  выбираются таким образом, чтобы начальное время жизни двойной  $t_{init}$  совпало, по порядку величины, с возрастом вселенной (хаббловским времени)  $t_H = 1.37 \times 10^{10}$  лет.

$$e = 0.99$$

$$a = 20 \text{ а.у.}$$

$$t_{init} = 1.79 \times 10^{10} \text{ лет}$$

Выбор начальных условий для третьего тела, то есть, прицельного параметра  $b$  и относительной скорости в бесконечности  $v_{inf}$ , гарантирует дальнейшее рассеивание.

$b \gg a$  (исследовалось несколько значений прицельного параметра)

$$v_{inf} = 1 \text{ км/с}$$

На основе этих значений, код вычисляет начальную кинетическую энергию и момент импульса системы двойная-третьего тело как будто двойная была точечной.

Для каждого прицельного параметра были исследованы разные ориентации двойной вокруг оси OZ (от 0 до  $\pi$  по интервалам  $\frac{\pi}{5}$ ) и разные ориентации рассеивающейся черной дыры вокруг оси OX (от 0 до  $2\pi$  по интервалам  $\frac{\pi}{5}$ ). В каждом случае было рассчитано новое время жизни двойной системы, определено ее новыми параметрами.

## 5. РЕЗУЛЬТАТЫ

Как результат моделирования, для каждого прицельного параметра был получен набор новых значений времени жизни и построены следующие графики:

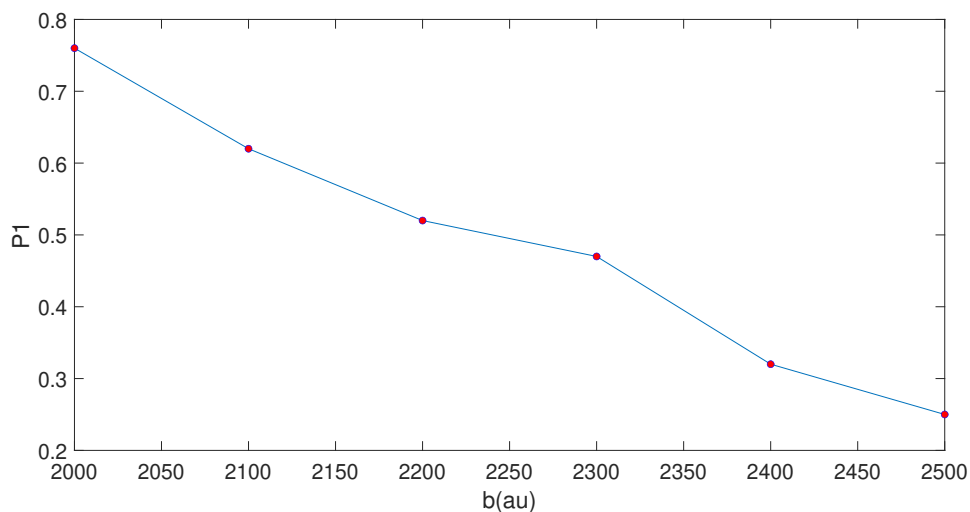


Рисунок 1 — Вероятность того, что время жизни двойной в результате рассеяния увеличится так  $\frac{t}{t_0} \geq 10$

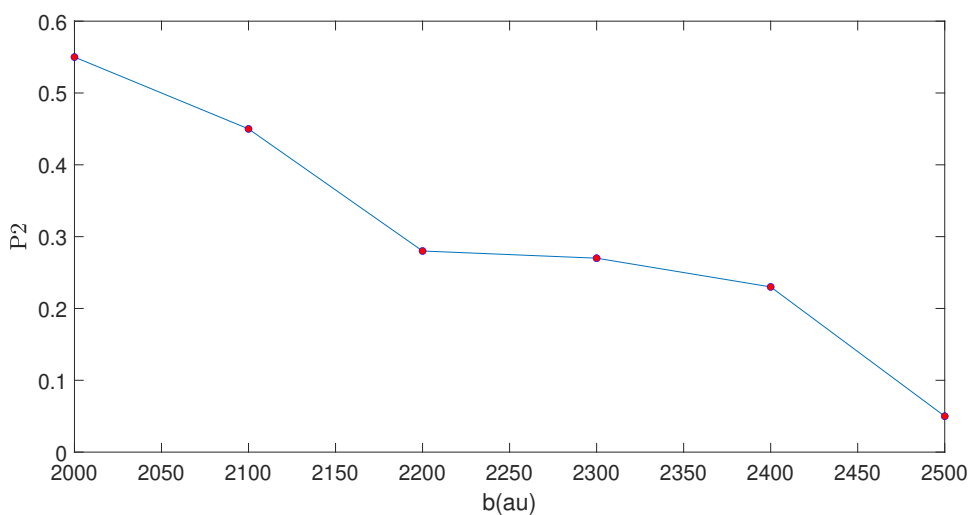


Рисунок 2 — Вероятность того, что время жизни двойной в результате рассеяния увеличится так  $\frac{t}{t_0} \geq 100$

Оценим темп таких взаимодействий из «эн-сигма-вэ» соображений

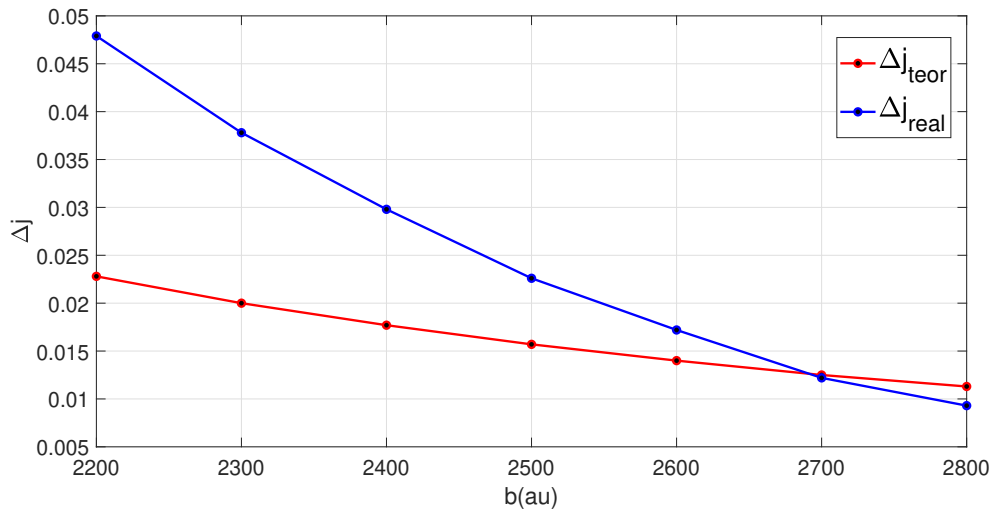
$$\Gamma \sim n\sigma v, \quad (20)$$

где  $n$  — концентрация ПЧД в кластере,  $\sigma = \pi b^2$  — сечение рассеяния и  $v$  — относительная скорость на бесконечности. Характерное время между рассеяниями оценивается как  $\tau \sim \Gamma^{-1}$

$$\tau \sim 30 \left( \frac{100 \text{ pc}^{-3}}{n} \right) \left( \frac{2000 \text{ au}}{b} \right)^2 \left( \frac{\text{km s}^{-1}}{v} \right) \text{ Myr} \quad (21)$$

видно, что характерное время между рассеяниями, ведущими к значительному увеличению времени жизни, значительно меньше в сравнение с возрастом Вселенной. Отметим, что не требуется большие значений локальной концентрации ПЧД. Можно ожидать, что к современному моменту регистрации событий слияний ПЧД, двойная успеет много раз возмутиться, что приведет к сильному времени жизни и ослаблению ограничений. Далее в работе планируется моделировать последовательность рассеяний каждое из которых будет случайным образом разыграно для того чтобы получить параметры двойных в современную эпоху.

С целью проверки справедливости теоритической оценкой 19 была измерена величина  $\Delta j$  при разных ориентациях двойной вокруг оси OZ и рассеивающейся ПЧД вокруг оси OX. Для каждого значения прицельного параметра  $b$  было найдено усредненное значение  $\Delta j$ . Сравнительный график приведен ниже.



Также была смоделирована последовательность 10 рассеяний и получены следующие результаты:

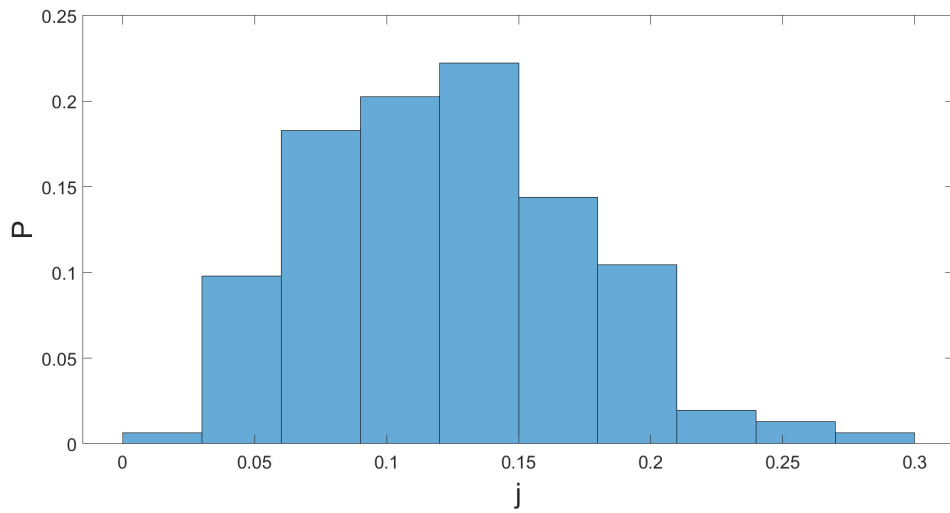


Рисунок 3 — Распределение  $j$  после последовательности 10 рассеяний в виде гистограммы ( $b = 2200\text{au}$ ,  $a=20\text{au}$ ,  $j_0 = 0.0447$ )

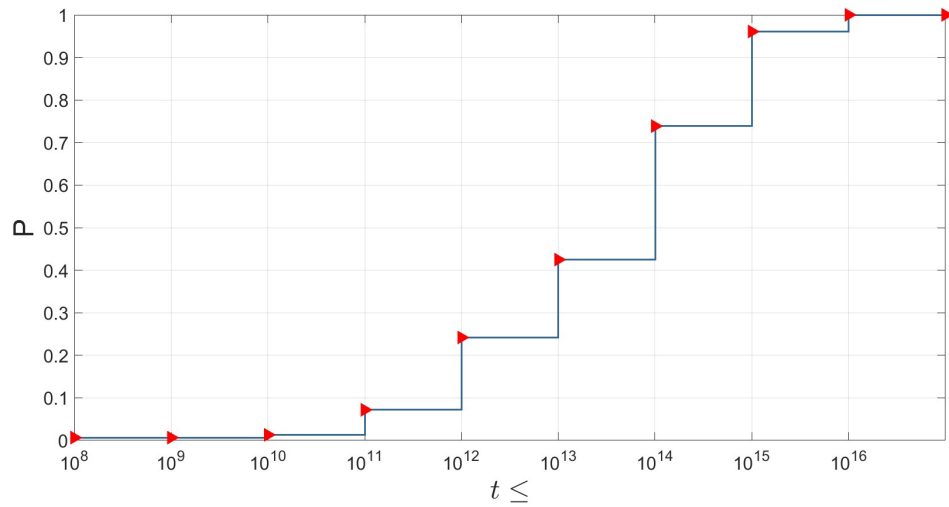


Рисунок 4 — Интегральная функция распределения  $t$  после последовательности 10 рассеяний ( $b=2200\text{au}$ ,  $a=20\text{au}$ ,  $t_0=1.7942\text{e}+10$  лет)

## 6. ЗАКЛЮЧЕНИЕ

Можно ожидать, что к современному моменту регистрации событий слияний ПЧД, двойная усмеет много раз возмутиться, что приведет к значительному увеличению времени жизни и ослаблению ограничений. Далее в работе планируется моделировать последовательность рассеяний каждое из которых будет случайным образом разыграно для того чтобы получить параметры двойных в современную эпоху.

## СПИСОК ИСПОЛЬЗОВАННЫХ ИСТОЧНИКОВ

1. Primordial Black Hole Scenario for the Gravitational-Wave Event GW150914 / M. Sasaki [et al.] // Phys. Rev. Lett. — 2016. — Vol. 117, no. 6. — P. 061101. — arXiv: 1603.08338 [astro-ph.CO] ; — [Erratum: Phys.Rev.Lett. 121, 059901 (2018)].
2. Did LIGO detect dark matter? / S. Bird [et al.] // Phys. Rev. Lett. — 2016. — Vol. 116, no. 20. — P. 201301. — arXiv: 1603.00464 [astro-ph.CO].
3. *Clesse S., García-Bellido J.* The clustering of massive Primordial Black Holes as Dark Matter: measuring their mass distribution with Advanced LIGO // Phys. Dark Univ. — 2017. — Vol. 15. — P. 142–147. — arXiv: 1603.05234 [astro-ph.CO].
4. *Ali-Harmoud Y., Kovetz E. D., Kamionkowski M.* Merger rate of primordial black-hole binaries // Phys. Rev. D. — 2017. — Vol. 96, no. 12. — P. 123523. — arXiv: 1709.06576 [astro-ph.CO].
5. A Luminous Quasar at Redshift 7.642 / F. Wang [et al.] // Astrophys. J. Lett. — 2021. — Vol. 907, no. 1. — P. L1. — arXiv: 2101.03179 [astro-ph.GA].
6. Observational Evidence for Primordial Black Holes: A Positivist Perspective / B. Carr [et al.]. — 2023. — arXiv: 2306.03903 [astro-ph.CO].
7. *De Luca V., Franciolini G., Riotto A.* NANOGrav Data Hints at Primordial Black Holes as Dark Matter // Phys. Rev. Lett. — 2021. — Vol. 126, no. 4. — P. 041303. — arXiv: 2009.08268 [astro-ph.CO].
8. Do pulsar timing arrays observe merging primordial black holes? / P. F. Depta [et al.]. — 2023. — arXiv: 2306.17836 [astro-ph.CO].
9. *Carr B., Kuhnel F.* Primordial black holes as dark matter candidates // SciPost Phys. Lect. Notes. — 2022. — Vol. 48. — P. 1. — arXiv: 2110.02821 [astro-ph.CO].

10. *Vaskonen V., Veermäe H.* Lower bound on the primordial black hole merger rate // *Phys. Rev. D.* — 2020. — Vol. 101, no. 4. — P. 043015. — arXiv: 1908.09752 [astro-ph.CO].
11. *Stasenko V., Belotsky K.* Influence of early dark matter haloes on the primordial black holes merger rate // *Mon. Not. Roy. Astron. Soc.* — 2023. — Vol. 526, no. 3. — P. 4308–4314. — arXiv: 2307.12924 [astro-ph.CO].
12. Cosmic conundra explained by thermal history and primordial black holes / B. Carr [et al.] // *Phys. Dark Univ.* — 2021. — Vol. 31. — P. 100755. — arXiv: 1906.08217 [astro-ph.CO].
13. Clusters of primordial black holes / K. M. Belotsky [et al.] // *Eur. Phys. J. C.* — 2019. — Vol. 79, no. 3. — P. 246. — arXiv: 1807.06590 [astro-ph.CO].
14. Gravitational waves from coalescing black hole MACHO binaries / T. Nakamura [et al.] // *Astrophys. J. Lett.* — 1997. — Vol. 487. — P. L139–L142. — arXiv: astro-ph/9708060.
15. *Eroshenko Y. N.* Gravitational waves from primordial black holes collisions in binary systems // *J. Phys. Conf. Ser.* — 2018. — Vol. 1051, no. 1. — P. 012010. — arXiv: 1604.04932 [astro-ph.CO].
16. Black hole binary formation in the expanding universe: Three body problem approximation / K. Ioka [et al.] // *Phys. Rev. D.* — 1998. — Vol. 58. — P. 063003. — arXiv: astro-ph/9807018.